

669.14.018.8: 669.15'24'26-194.56: 620.172.251.225: 620.192.45: 669.786

討31 合N 18Cr-10Ni型オーステナイト系ステンレス鋼の高温引張延性におよぼす
介在物の影響

日新製鋼 同南製鋼所 星野和夫 植松美博

1. 緒言

18-10型オーステナイト系ステンレス鋼にC, NおよびNbなどを添加すると高温で強度が著しく向上することよく知られているが、これら強化元素の添加により700°C以上で延性が低下する場合のあることはあまり注目されていない。

しかし実際に高温での延性低下は、熱疲労や高温疲労特性が損なわれるなど材料特性の面で、また分離および熱延中に割れやキズを生じやすいなど製造面においても重要な問題である。

この高温延性低下現象は、高温での動的軟化を遅滞させる効果のある元素を含む材料において顕著に認められるところから、高温での変形機構に依存していると考えられるが、さらに粒界の低下が著しいことから鋼中不純物量にも大きく影響を及ぼす現象と想われる。

本研究では18-10型高強度ステンレス鋼の高温延性を広い温度範囲で調べ、強化元素(C, N, NbおよびMo)と鋼中不純物の共存効果を明らかにし、高温延性低下現象の改善を試みたものである。

2. 試験材および実験方法

実験に用いた試料の化学成分を表-1に示す。このうちC1および△はそれぞれSUS304およびSUS310Sに相当する。N系はNの効果を、Nb系はNとNbの効果を、またCM1とNM1はMoの効果を調べた試料である。シリーズには、これらのは酸素量を約30~250ppmの範囲に保つて調整した。

低酸素鋼の溶製には真空溶解炉を用い、Arガス中で人工スラブ精錬を行った。酸素の分析は真空溶融法²⁾にて行った。鋼塊から鍛造にて120~25mm³の双棒を作製し、1080~1150°C×1hr保持後水冷の溶体化処理を施し、結晶粒度をおよそNo.5にそろえた(ただしNbを含むNbシリーズは混粒となつた)。

引張試験は25°C、および500~1000°C(各100°C間隔)の温度でひずみ速度10⁻³sec⁻¹で実施した。試験片寸法は、800°C以下の温度の場合、平行部10mm³×50mm³のものを、また900°C以上の温度の場合、平行部6mm³×30mm³とした。なお、一部の試料を用ひひずみ速度急変試験を実施し、Backofen³⁾らの方法にてひずみ速度感受性m値を求めた。

3. 実験結果および考察

3. 1. 高温引張試験結果

18Cr-10Ni-0.06CをベースにN量の異なるC1(N=0.02%)およびN1(N=0.18%)について引張試験結果を図1に示す。図1より両試料間の高温引張特性(特に高温延性)には著しい差異のあることがわかる。まず、引張強さおよび0.2%耐力は500~1000°Cのいずれの温度においてもCN1が高い。

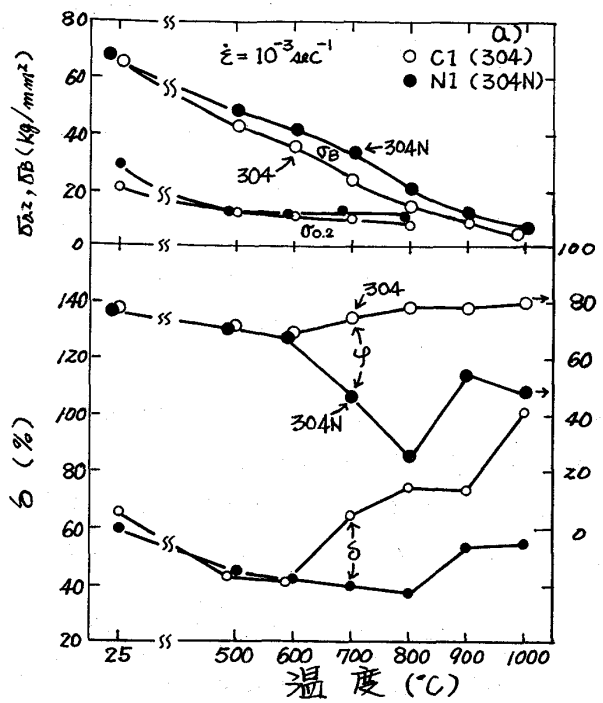


図1.N添加鋼の高温引張試験結果

一方、延性は500°Cおよび600°Cではほとんど差が認められないのに、700°C以上の温度になるとN1の伸びおよび絞りはC1に比べ著しく低下している。さらに絞りと温度との関係でみてみると、600~800°Cにかけて著しい低下を生じ800°Cで極小となる。その後、800~900°Cでいったん上昇するが1000°Cで再び低下するという傾向を示している（便宜的に前者をI型および後者をII型と呼ぶことにする）。SUS 304ではI型の延性低下を示す温度では回復が、またII型では再結晶が顕著に認められる温度にそれが比較相当する。

図1-bは、NB1およびNM1の引張試験結果を示す。NB1はN1と同じ延性低下の傾向を示すが、伸びはN1よりさらに低いことが認められる。一方、NM1ではI型は認められずII型の延性低下のみが生じている。

図2には伸びと絞りの関係を800°Cについて示す。图より、同一の絞りに対する伸びはA系が最もすぐれ、ついでC系、NB系の順である。A系とC系は侵入型元素の量に、またC系とNB系ではNb添加の有無に差異があり、これらの元素量の増加は伸びを低下させている。伸びの差は、クロロ的にはこの局部変形能の差に起因する。

次にNbはI型の現象について検討した。

3. 2. 高温延性に及ぼす要因

3. 2. 1. 絞りと酸素量の関係

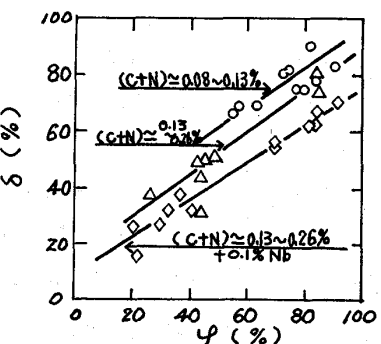
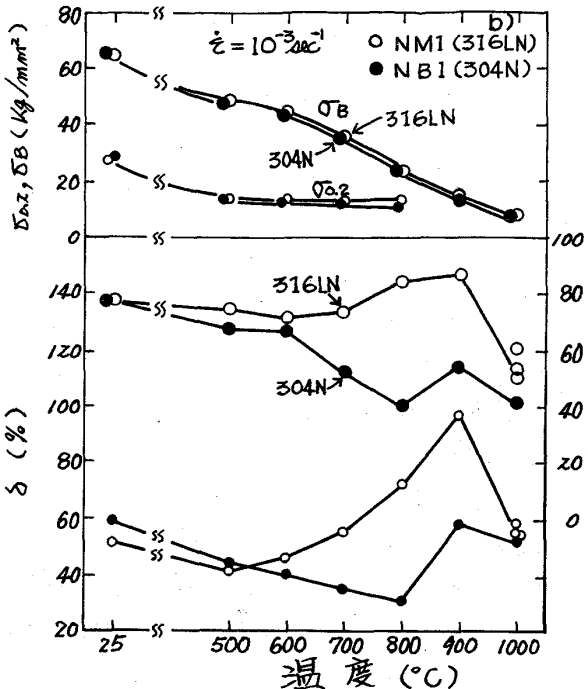


図2. 伸びと絞りの関係(800°C)

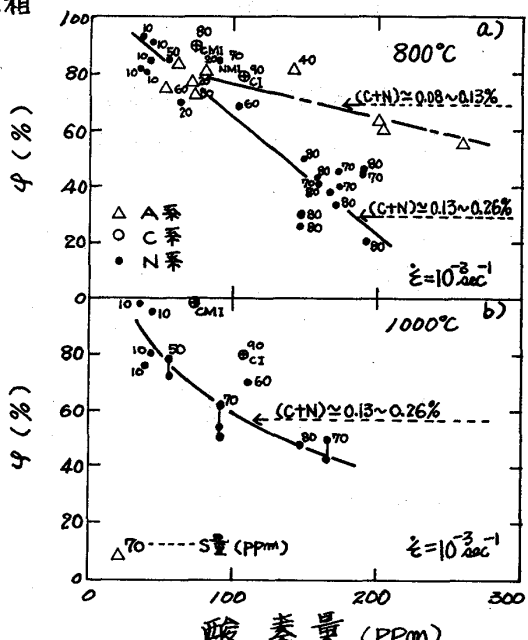


図3. 絞りにおよぼす酸素量の影響

A素、N素およびNB素について 800°C やび 1000°C の絞りと酸素量の関係を図3に示す。図3から、全体的傾向として絞りは酸素量に強く依存していること、およびその依存性の変化は含有する微量元素成分により異なり、 $\text{A} < \text{N} \leq \text{NB}$ の順に大きいことなどがわかる。この順序は各素の高温での流動応力の大きさと対応している。酸素の影響を温度によってみると、 500°C やび 600°C ではきわめて小さいが、 700°C やび 1000°C ではその影響は大きくなっている。一方Nbを含むCI素やNM素の高い流動応力を示すが、図1および図3に示したようにI型の延性低下現象を示しておらず、流動応力の増加そのものが絞りの低下の一因であるとはいえない。なお、Ductility drop にはS量の影響が大きいと報告もあり⁴⁾、図3にもS量を併記したが、今回の実験では低酸素鋼がいずれも低い硫黄量によっておりS単独の効果を検出できなかった。

つぎに 800°C における破断部の走査電顕観察結果を写真1に示す。絞りの低下とともにディンプルから粒界破壊のパターンへ移行している。図2、3および写真1の結果から、N素添加鋼の延性低下は粒界破壊による韌性劣化が最も主要因の一つと推定される。

3.2.2. 応力-ひずみ曲線

CI素やNM素について、応力-ひずみ曲線を図4に、また加工硬化率(δ/ϵ_0)とTとひずみの関係を図5に示す。図4からCI素とNM素を比較すると、曲線の形状は各温度においてほぼ同様であるが、流動応力の値はCI素の方が高く、温度的に約100°C程度の差があることがわかる。また直線硬化領域の消失する温度はともに約600°Cであり、700°C以上の温度ではおおむね放物線的に変形が進行する。つぎに図5から、加工硬化率の変化に着目してみると、600°Cでは差がないが、700°C以上になると放物線硬化領域の始まる臨界ひずみ量(ϵ_c)について、NM素の方がCI素よりも高いひずみ側にあることがわかる。

3.2.3.

ひずみ速度感受性

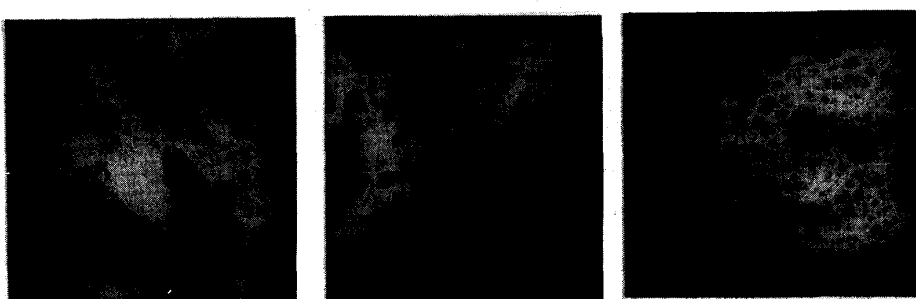
図6はひずみ速度感度試験を行ない次式を用いて求めたひずみ速度感受性(m値)と伸びとの関係をプロットしたものである。

$$m = (\partial \log \delta / \partial \log \dot{\epsilon}) \epsilon_0 T \approx (\log \delta_1 / \delta_2 / \log \dot{\epsilon}_1 / \dot{\epsilon}_2)$$

著しい絞りの低下を示した試料を除いては、伸びとm値との間によい対応がみられる。表2には、各温度におけるm値と成分の関係の一例を示した。表2から、N素やNbはm値を低下させることがわかる。

3.3. 考察

I型の高温延性低下現象は、粒界割れの発生とその伝播に關係していると考えられる。この粒界割れは粒界すべりによリ粒界三重奏に発生するが、鋼中の非金属介在物はその発生を助長するものと思われる。この



NB1 C1 NB2
 $\varphi = 41.0\%$, $O = 172\text{ppm}$ $\varphi = 79.0\%$, $O = 110\text{ppm}$ $\varphi = 93.0\%$, $O = 36\text{ppm}$
 $\delta = 31.5\%$, $S = 70\text{ppm}$ $\delta = 74.5\%$, $S = 90\text{ppm}$ $\delta = 48.7\%$, $S = 10\text{ppm}$

写真1. 800°C 引張破断部の走査電顕観察結果

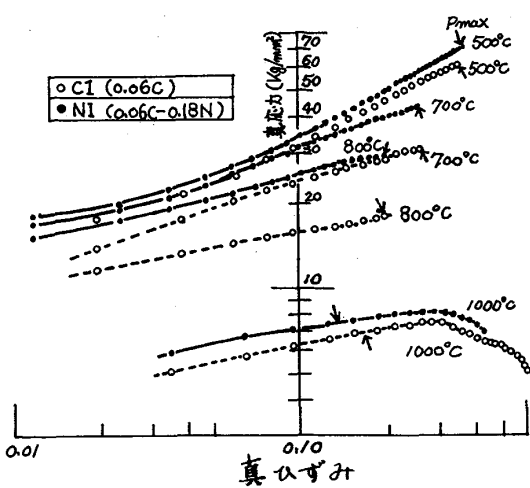


図4. 応力-ひずみ曲線

考えに従えば、いずかの系でも粒界割れに対する酸素の影響は同程度にあるはずである。しかし、図3からわかるように、A系とB系（およびNB系）では、絞りの酸素量依存性に大きな差があり、各系での絞りの低下の差を粒界割れの発生のみで説明することはできない。一方、各系間の加工硬化率の差から、AおよびB系は交差すべり（あるいは転位の上昇）を遮断させることによって回復を妨げる作用があると推測される。さらにこのことは、B系ステンレス鋼の積層欠陥エネルギーにおける溶質元素の影響として、C. Niは圧力を上げる。Crは圧力を下げるという報告とも定性的に一致する。この動的軟化過程の遷移は高温での流動応力の増加よりもたらし、その結果粒界割れの伝播を促進しているものと思われる。

4. 緒言

18-10型オーステナイト系ステンレス鋼の高温延性低下現象を、微量強化元素（Nb, MoおよびNi）と酸素との共存作用から検討した。延性低下現象は、粒界割れによる絞りの低下およびNb, Moによる局部変形能の低下に起因していた。このうち、絞りの低下は酸素量の増加に対応しており、特殊精錬により十分脱酸を行なうと著しく向上するところがわかった。一方、マクロ的な局部変形能は高温での動的軟化の難易に対応し、動的軟化が遷移する程伸びは低下していく。

なお、粒界割れに対する回復の効果、S量の影響など不明な点が多く今後の研究課題と考えている。

参考文献

- 1) 例えば ASTM, STP 522 (1973)
- 2) 桜本, 青木; 日新製鋼技報, 28(1973), 44
- 3) W. A. Backofen, I. R. Turner, D. H. Avery; Trans. ASM, 57 (1964), 980
- 4) 連水, 山口; 鉄鋼基礎共同研究会—微量元素の偏析部会, 「鋼中微量元素の偏析と粒界脆化」, (1976), 149
- 5) R. E. Schramm, R. P. Reed; Met. Trans., 6(1975), 1345
- 6) 中村, 植木; 学振123委員会, 18(1977), 243

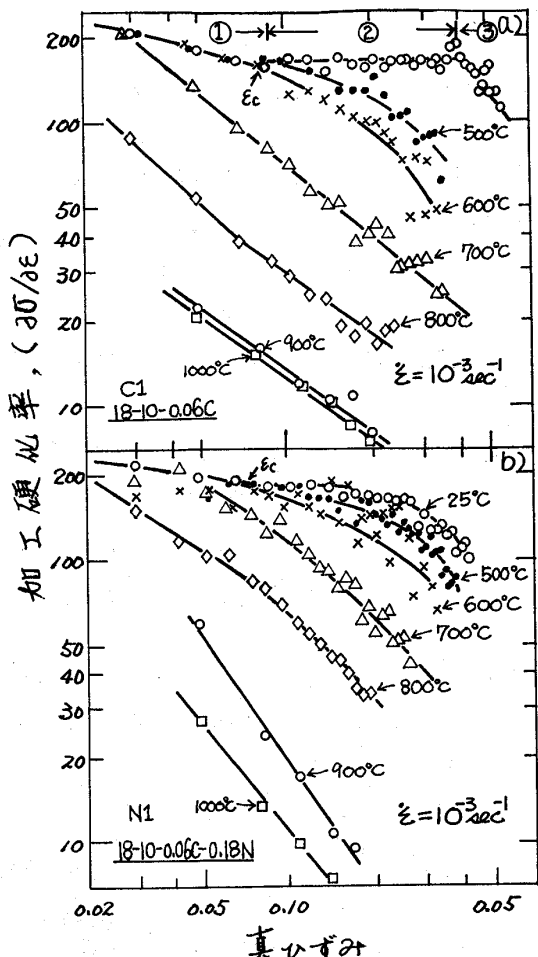


図5. 加工硬化率 ($\Delta\sigma/\Delta\epsilon$)

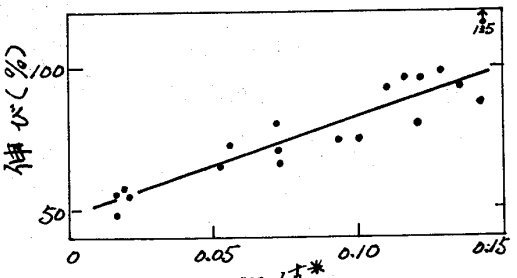


図6. 伸びとm値との関係

表2. 各試料のm値の比較

No	(°C)	700	800	900	1000
C1	0.052	0.093	0.102	0.124	
N2	0.020	0.073	0.111	0.120	
NB1	0	0.050	0.101	0.119	
NM1	0.016	0.055	0.127	0.163	

* ひずみ速度 10^{-3} sec^{-1} に相当する値